

FIG. 1

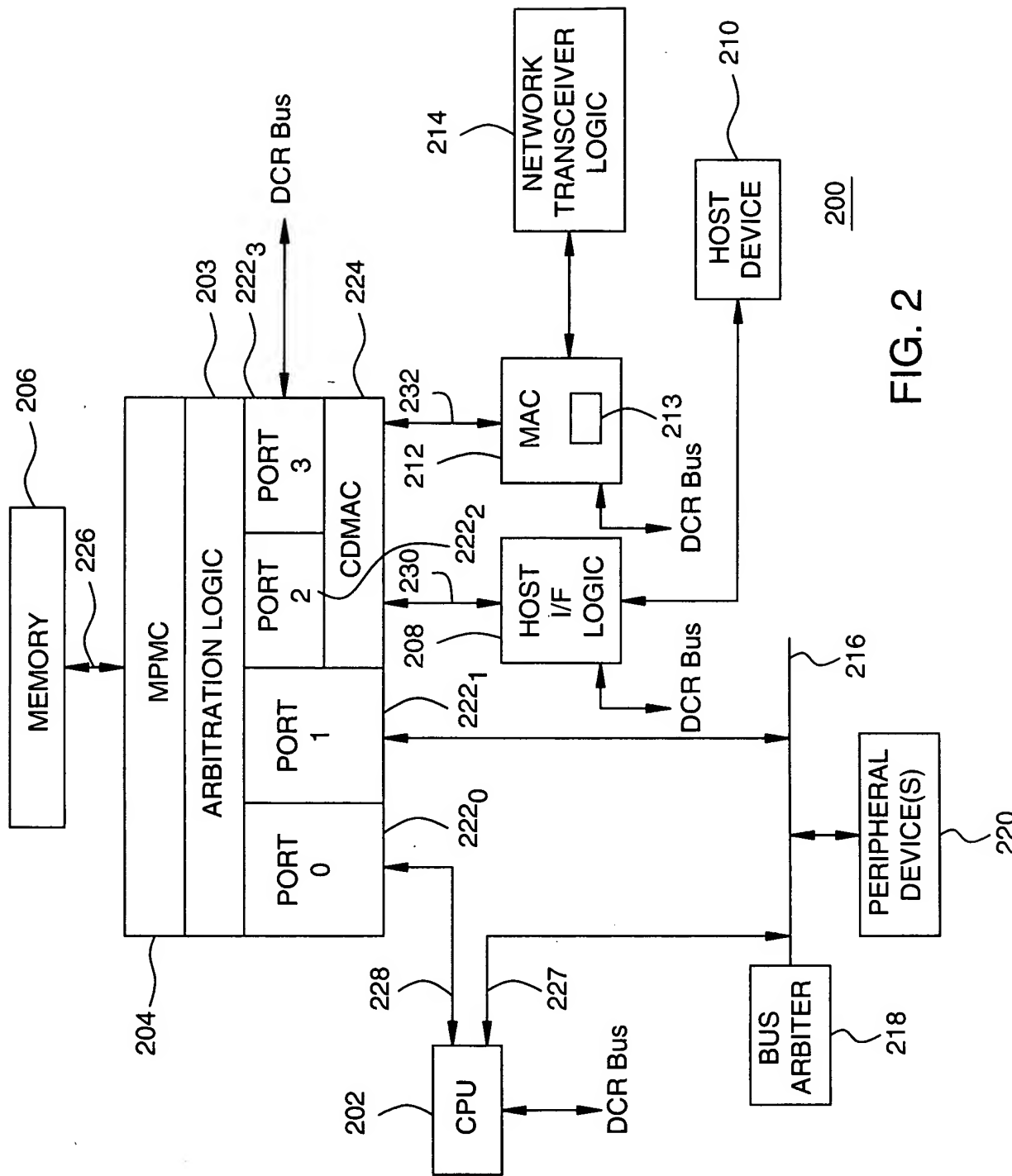


FIG. 2

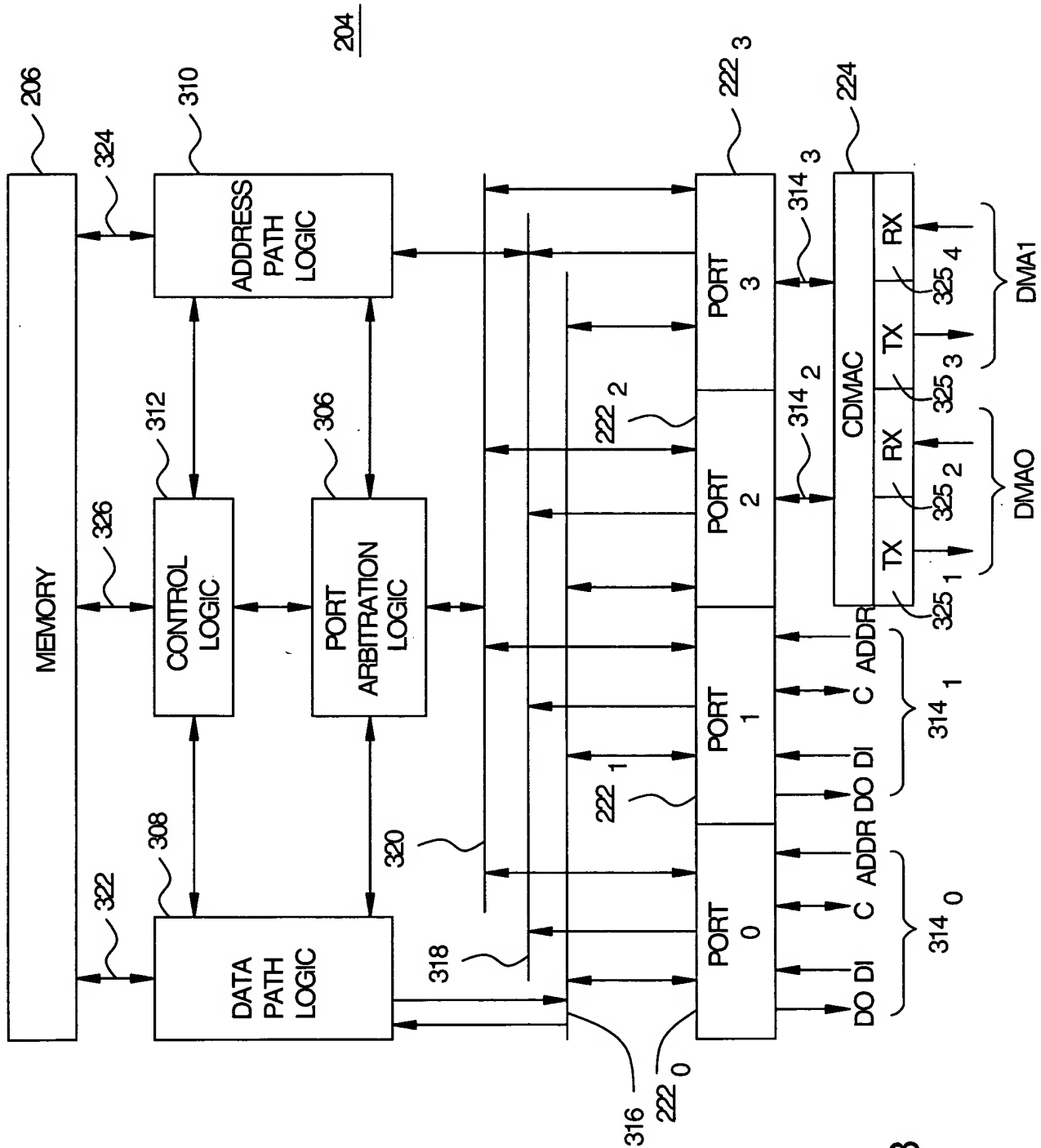


FIG. 3

FIG. 4

400

	TS1	TS2	TS3A	TS3B	TS4A	TS4B
PR1	P0	P1		P2		P3
PR2	P1	P0	P0	P1	P0	P1
PR3					P1	P0

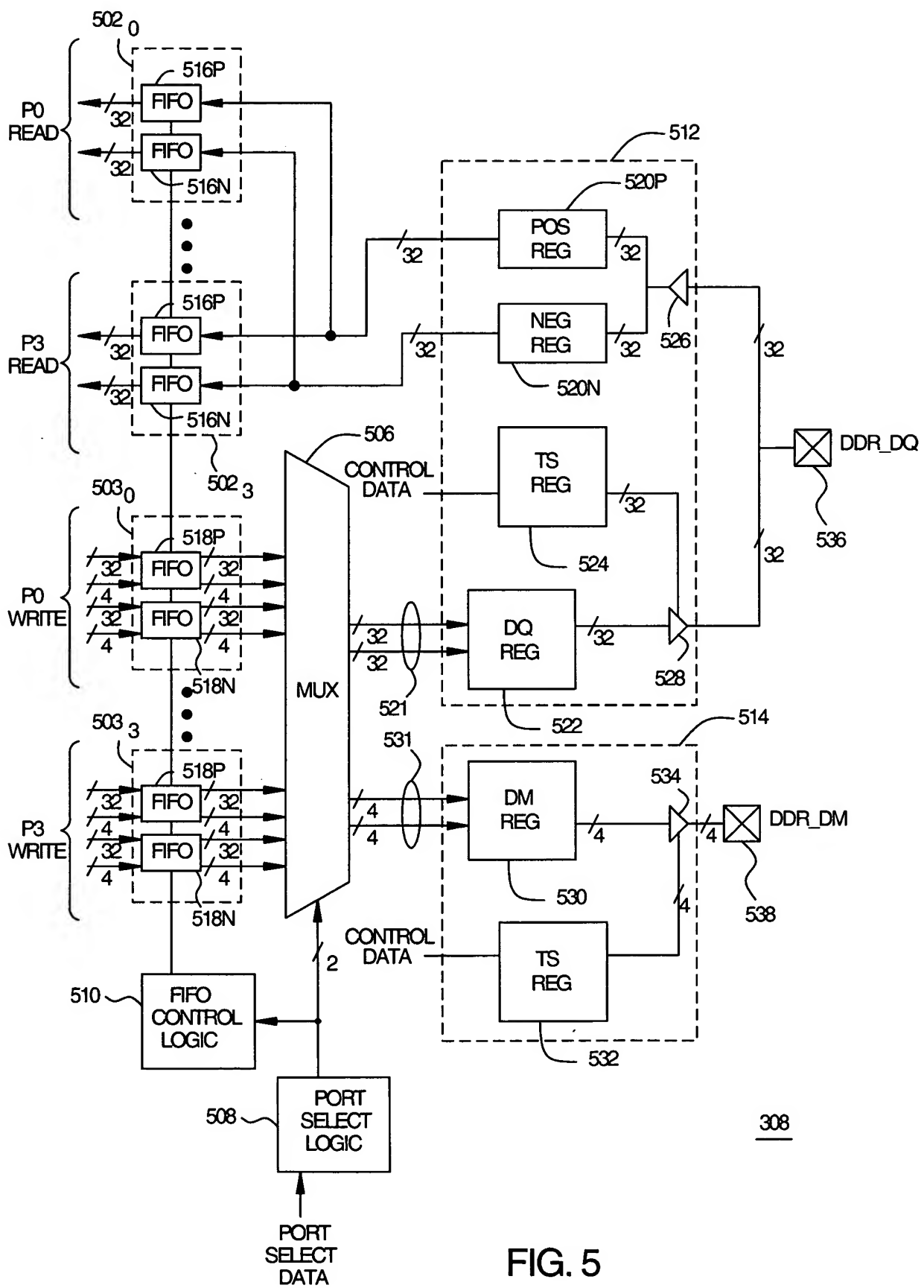


FIG. 5

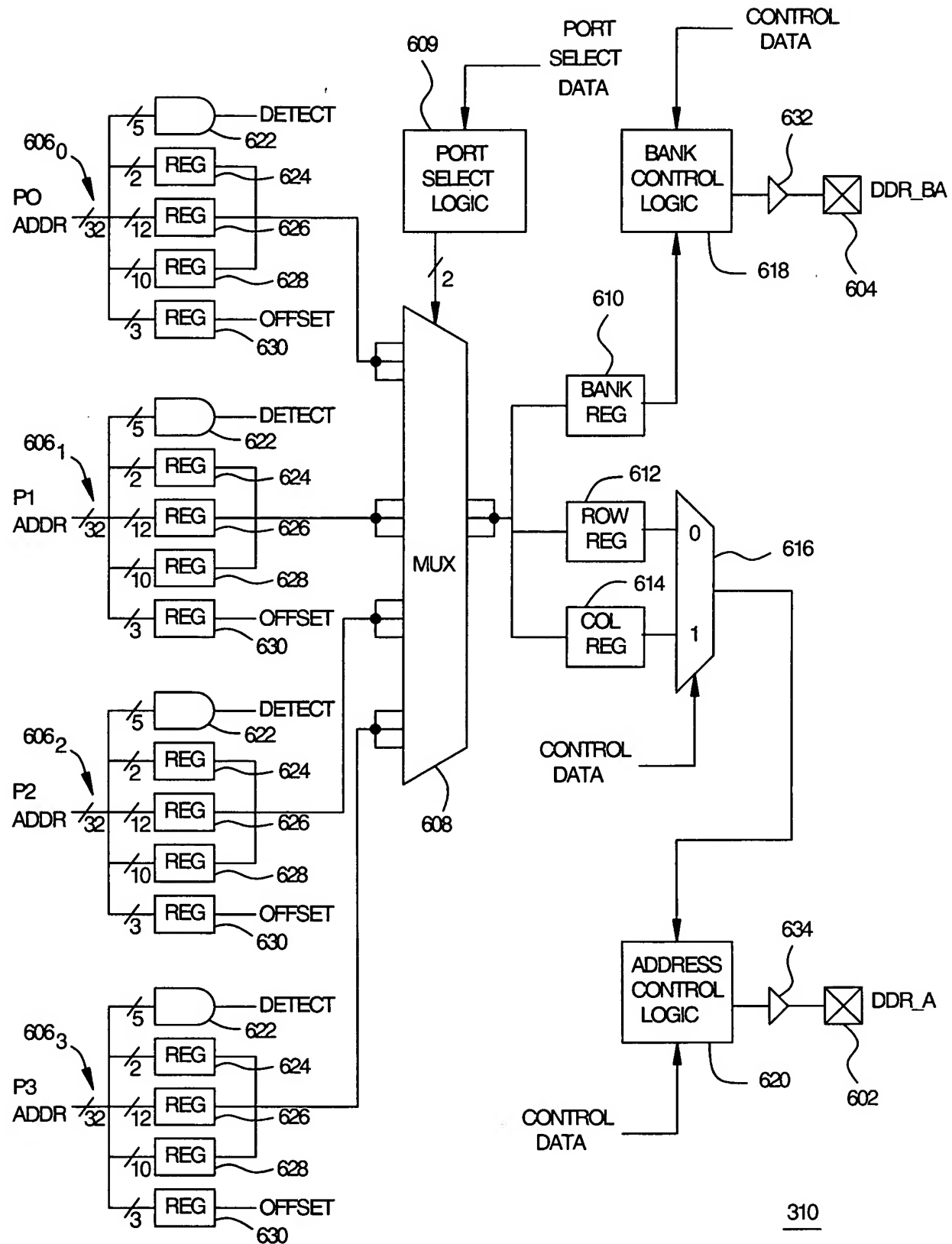


FIG. 6

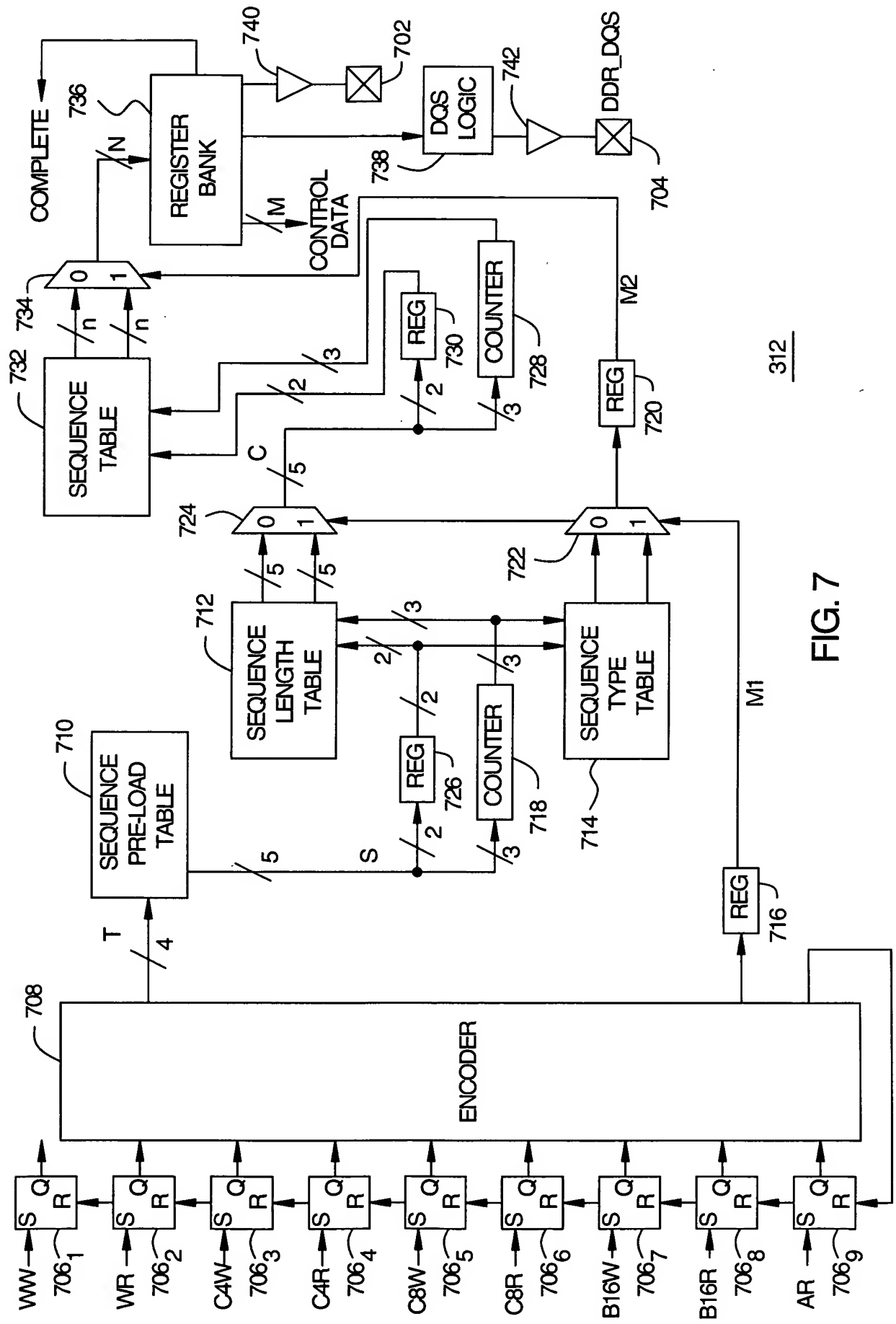


FIG. 7

L

L

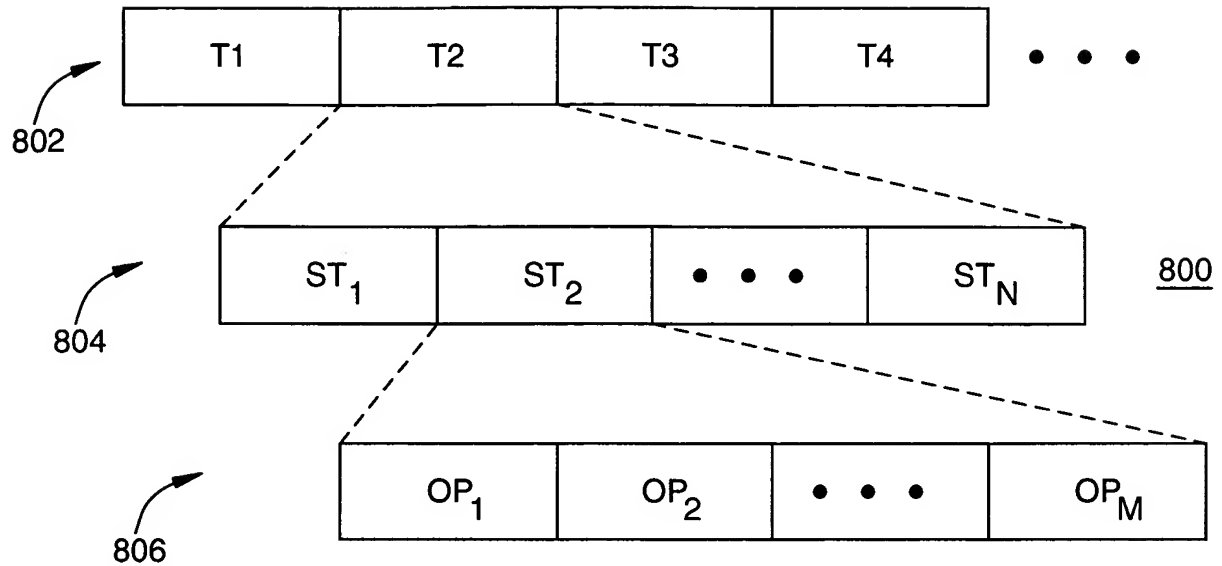


FIG. 8

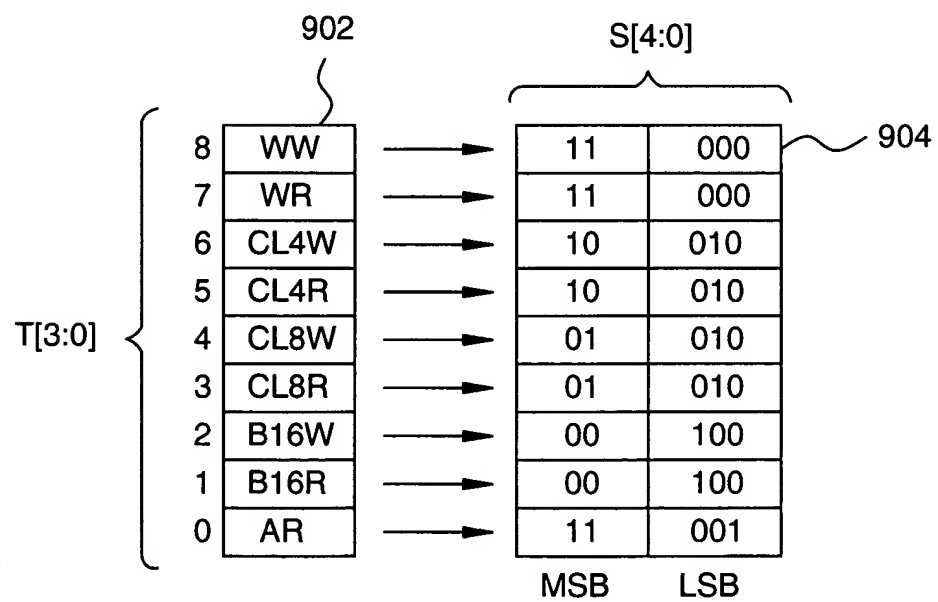


FIG. 9

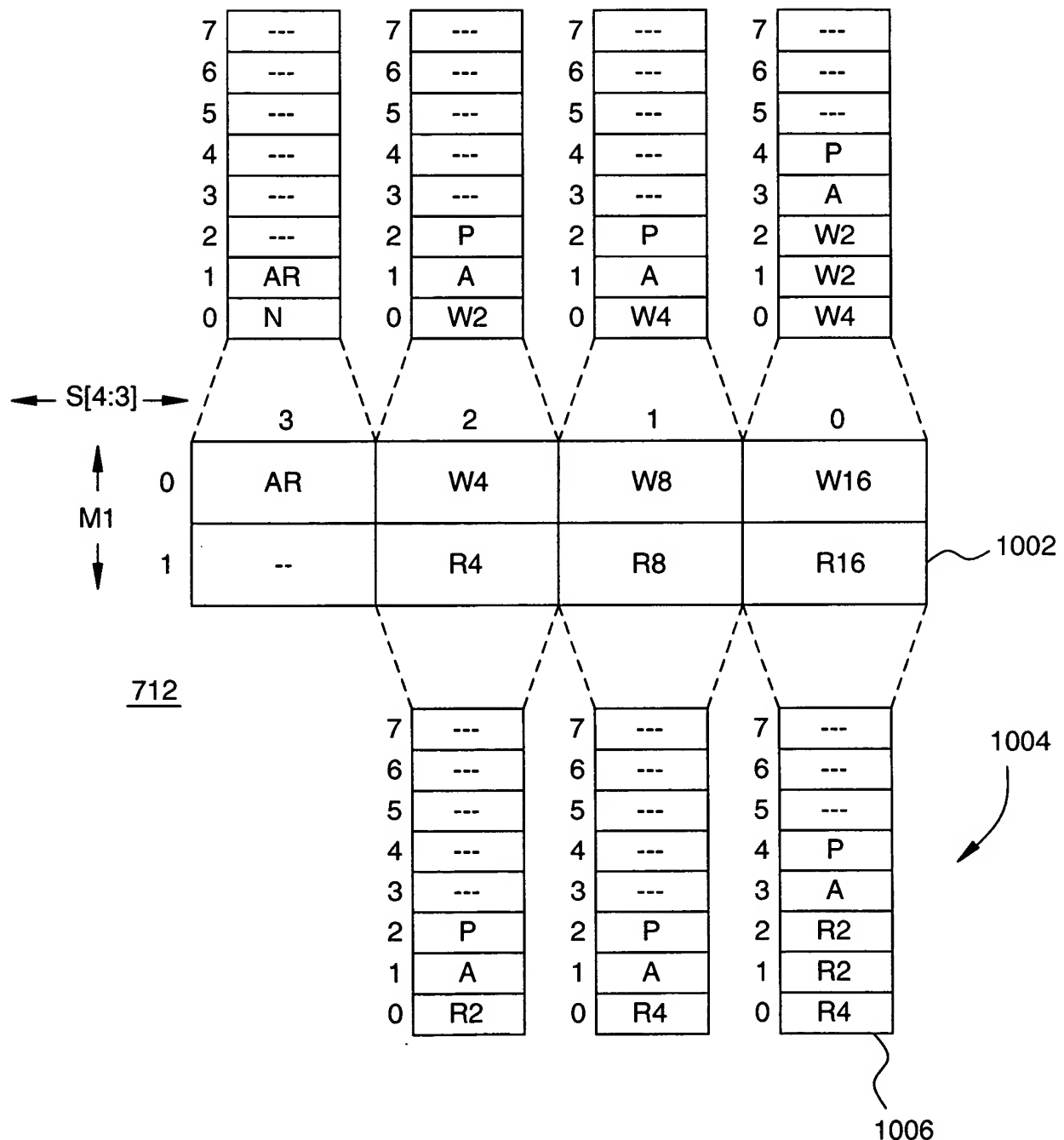


FIG. 10

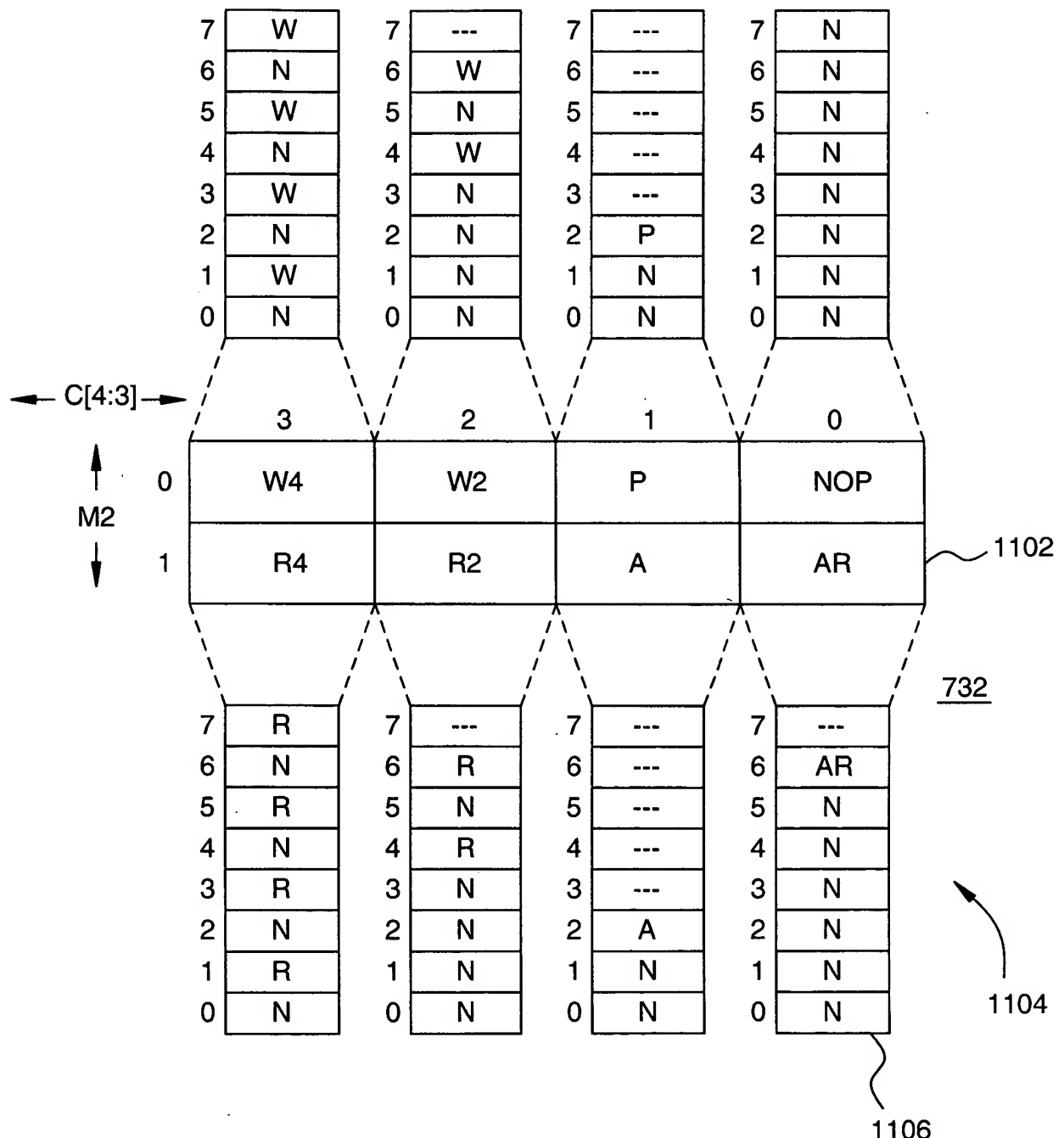
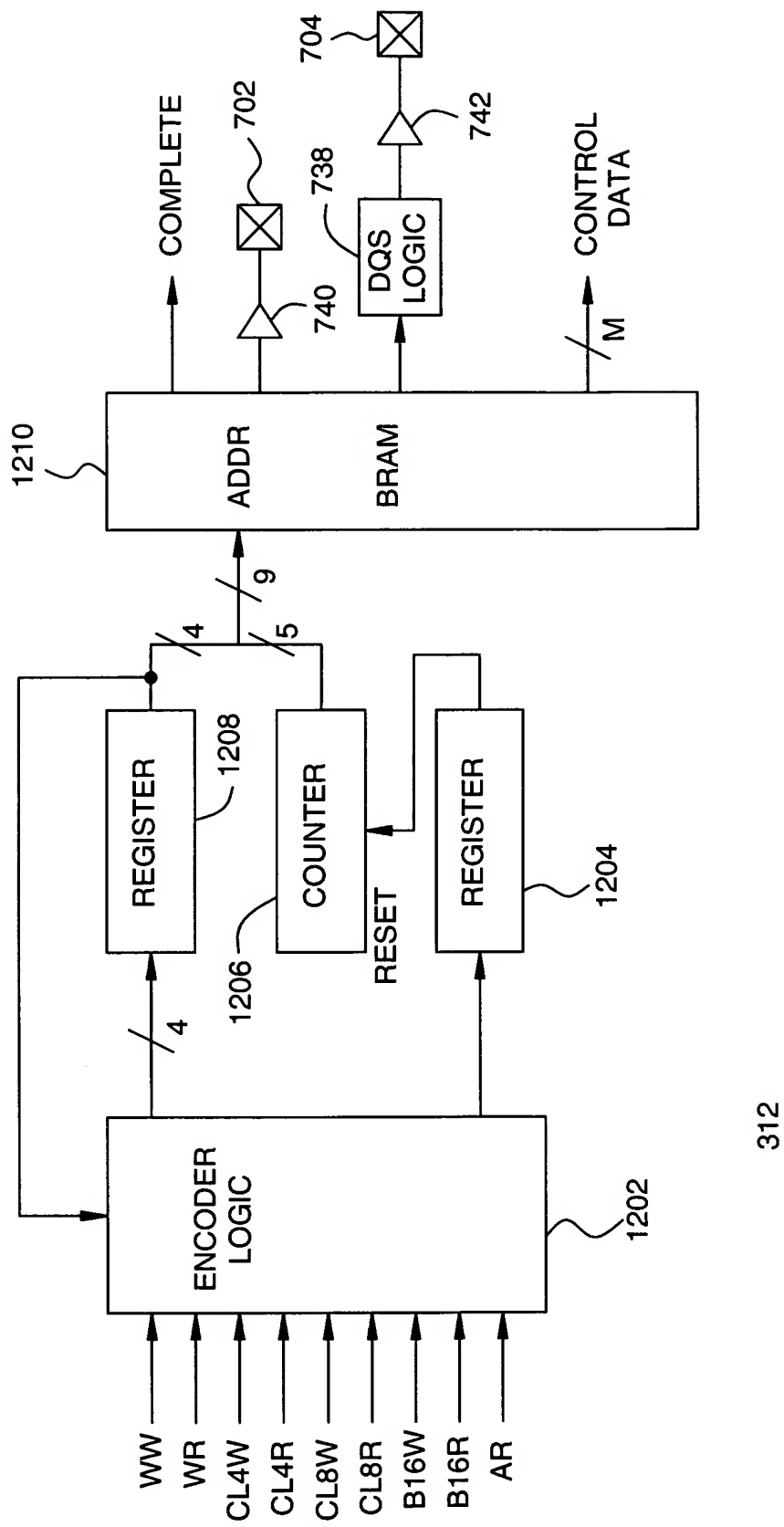


FIG. 11

FIG. 12



312

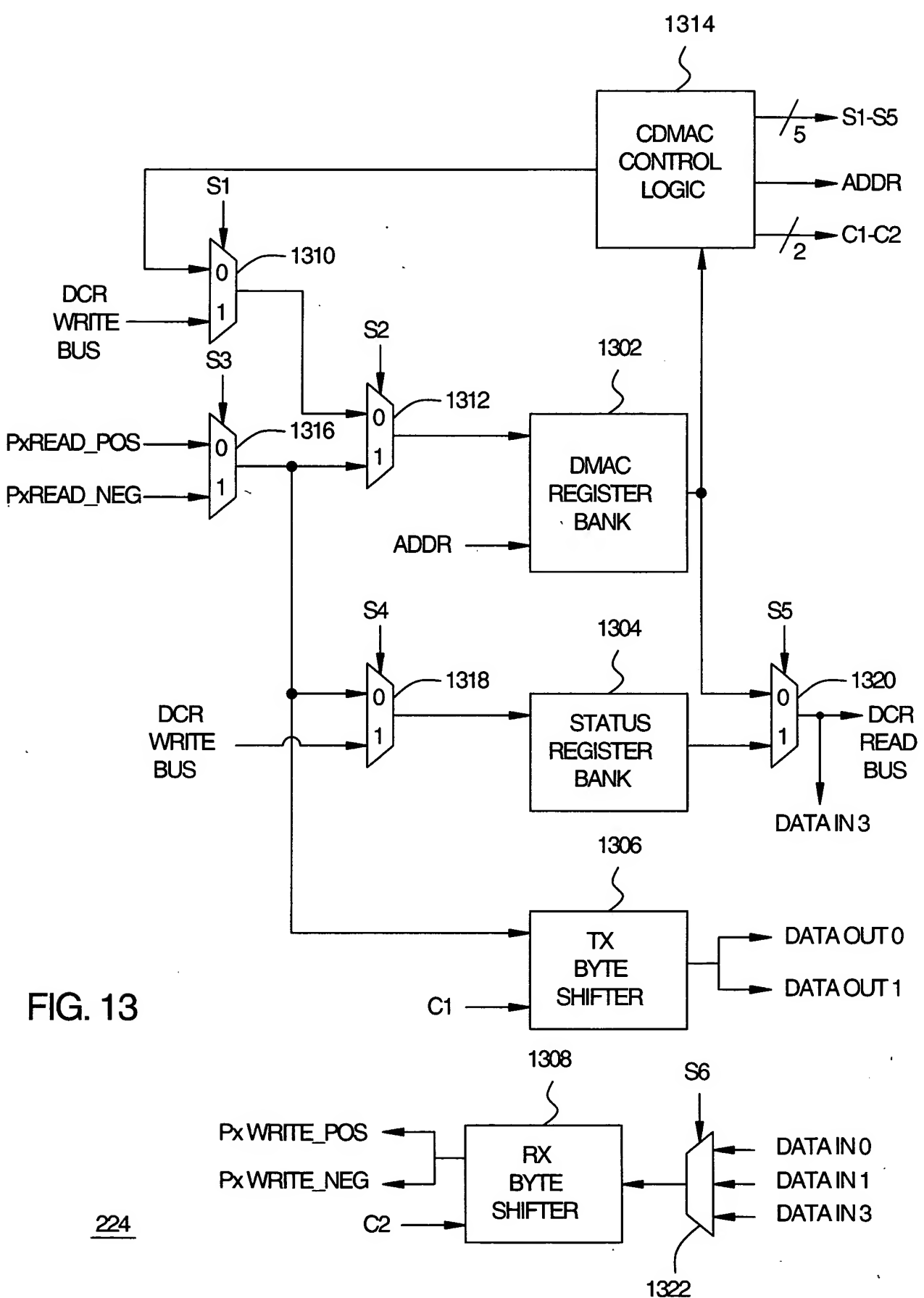
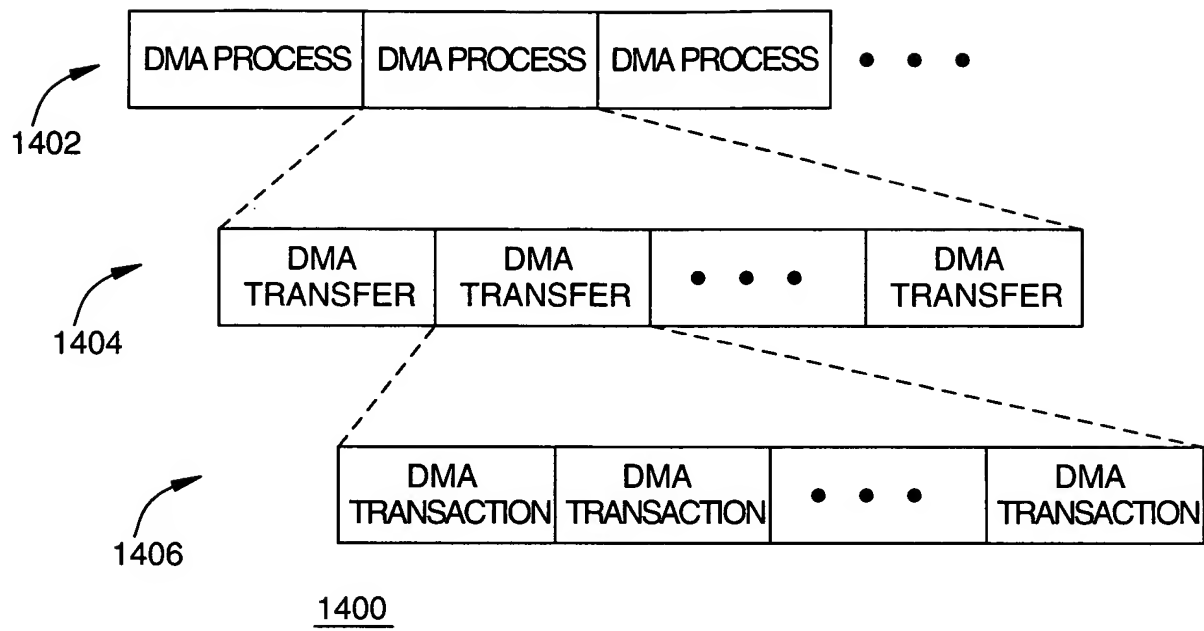
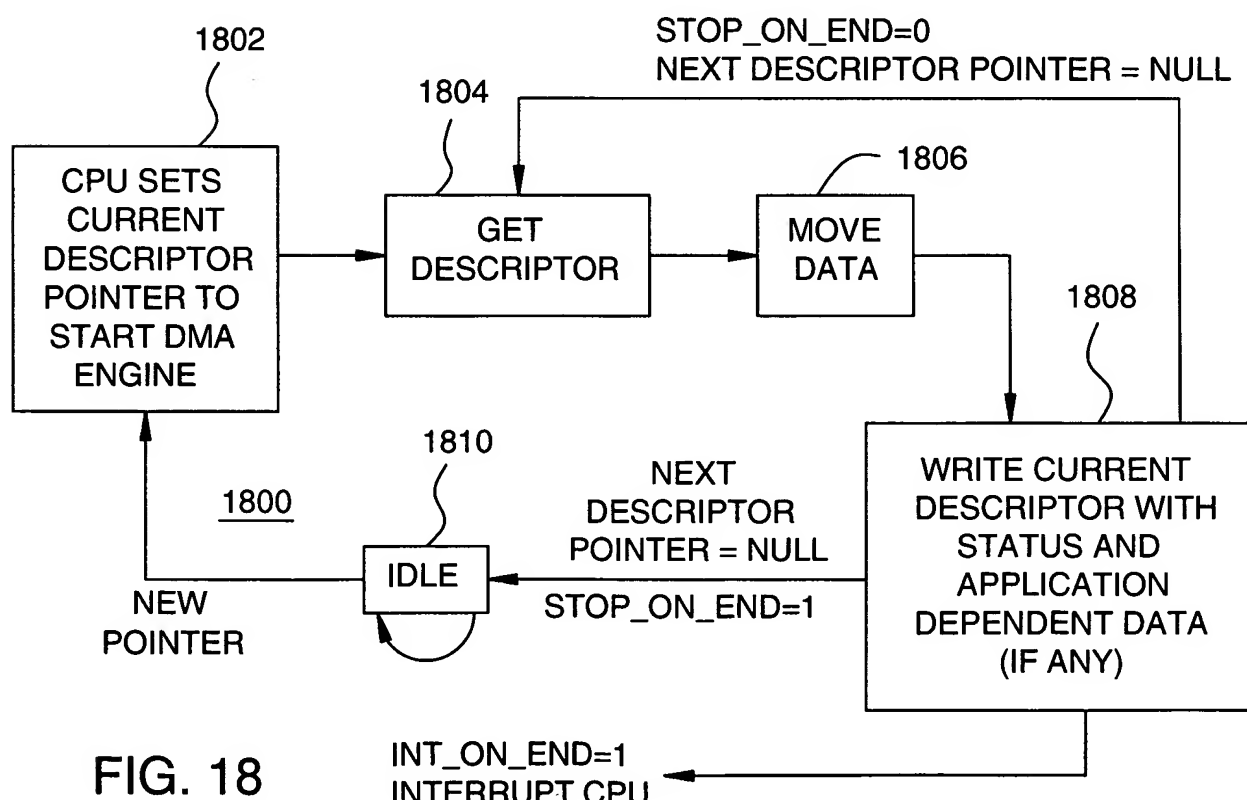


FIG. 13



**FIG. 14**



**FIG. 18**

Γ

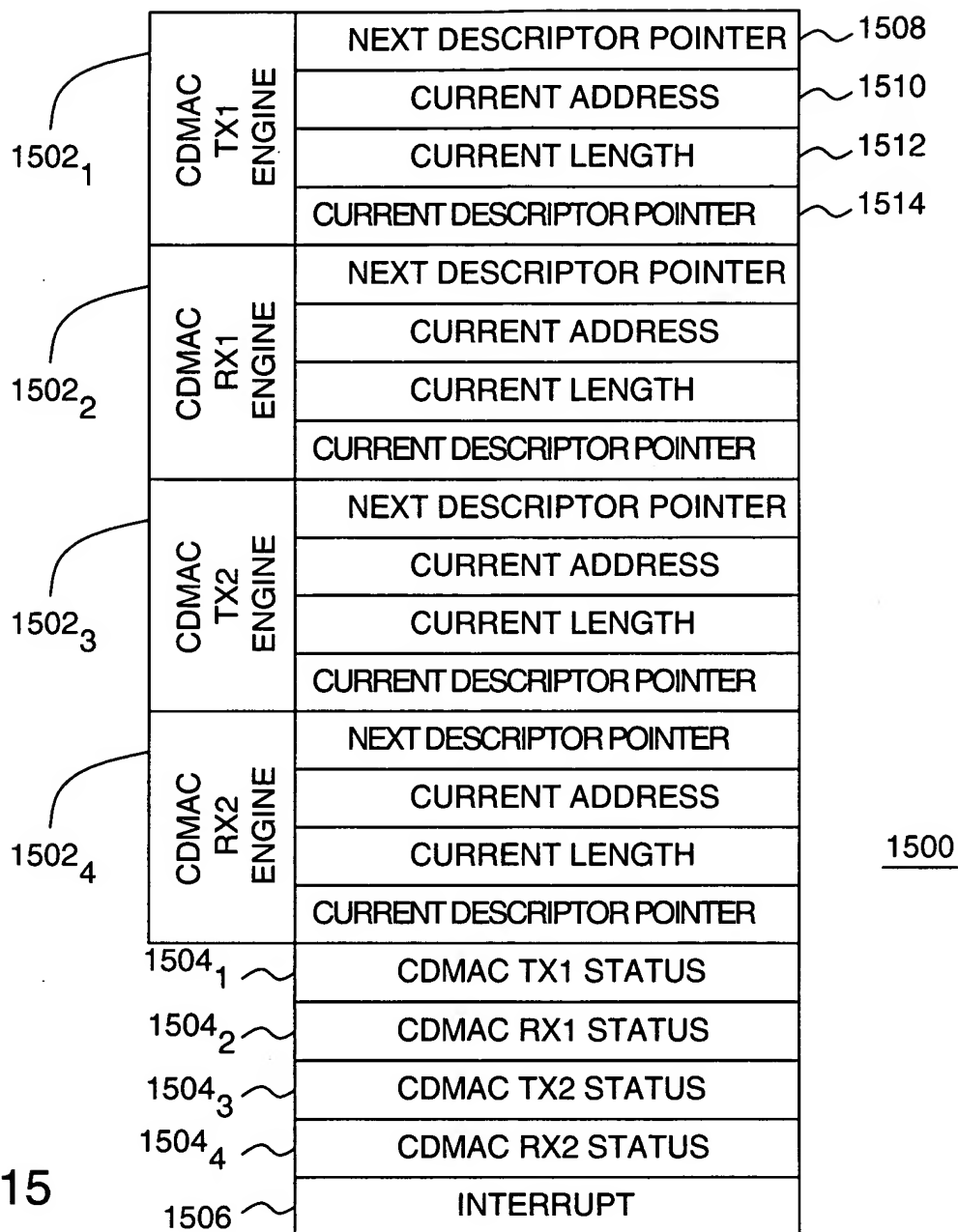


FIG. 15

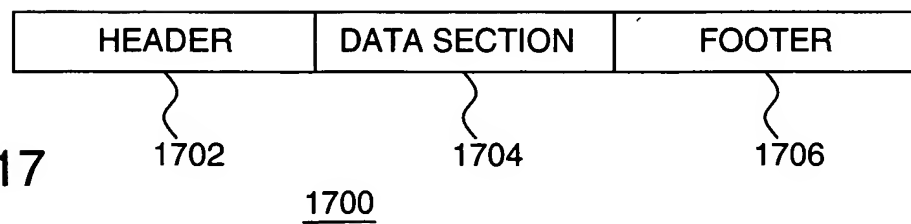


FIG. 17

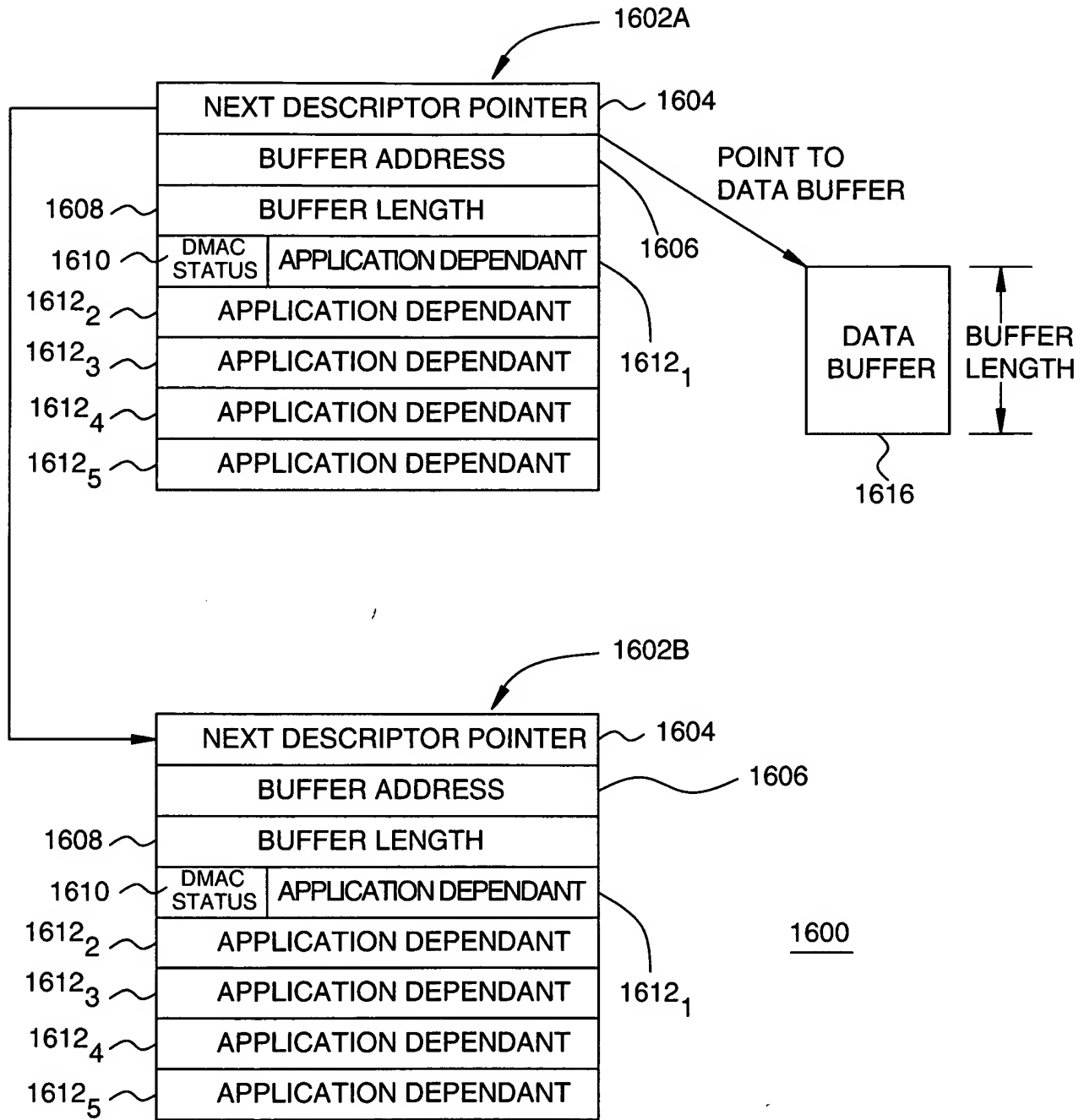


FIG. 16

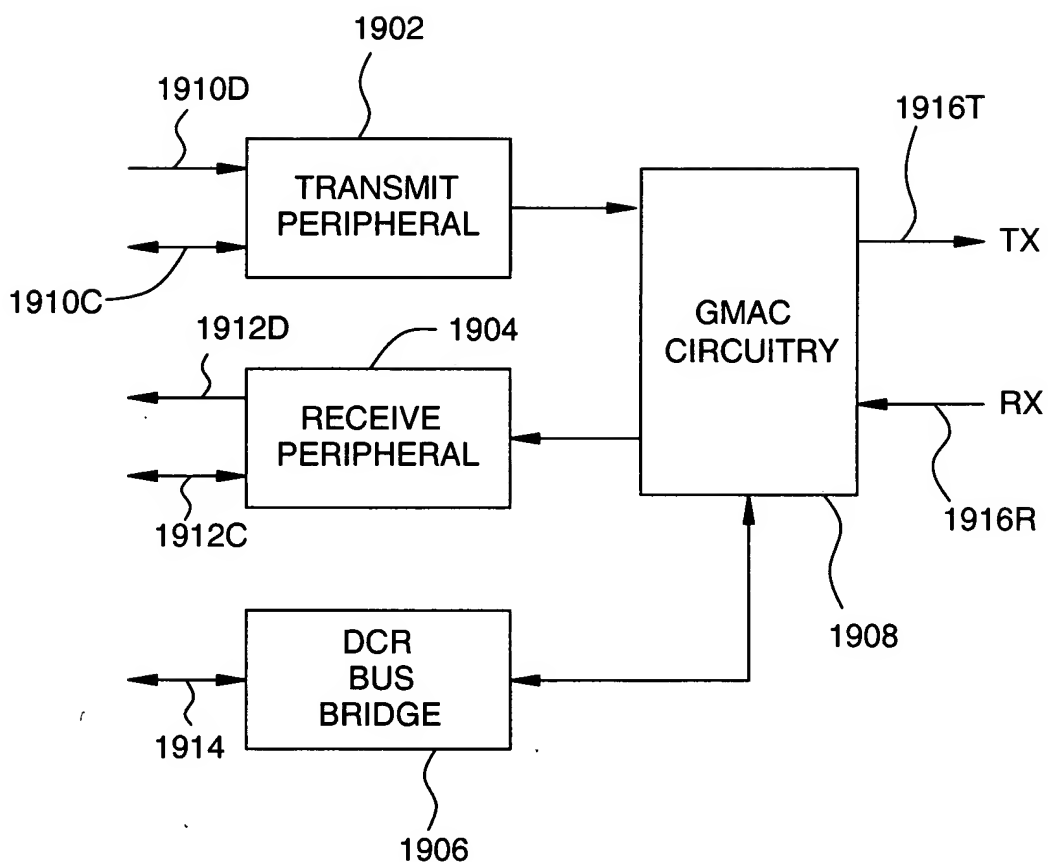
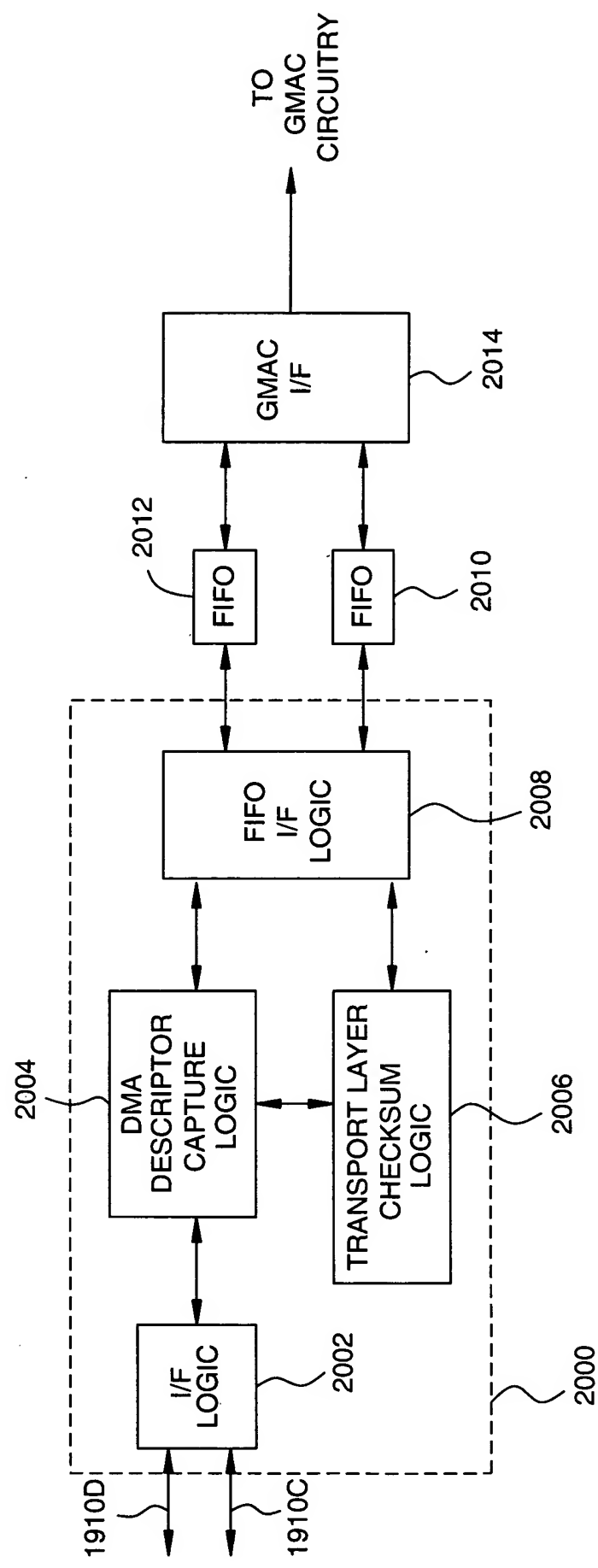


FIG. 19

1902

FIG. 20



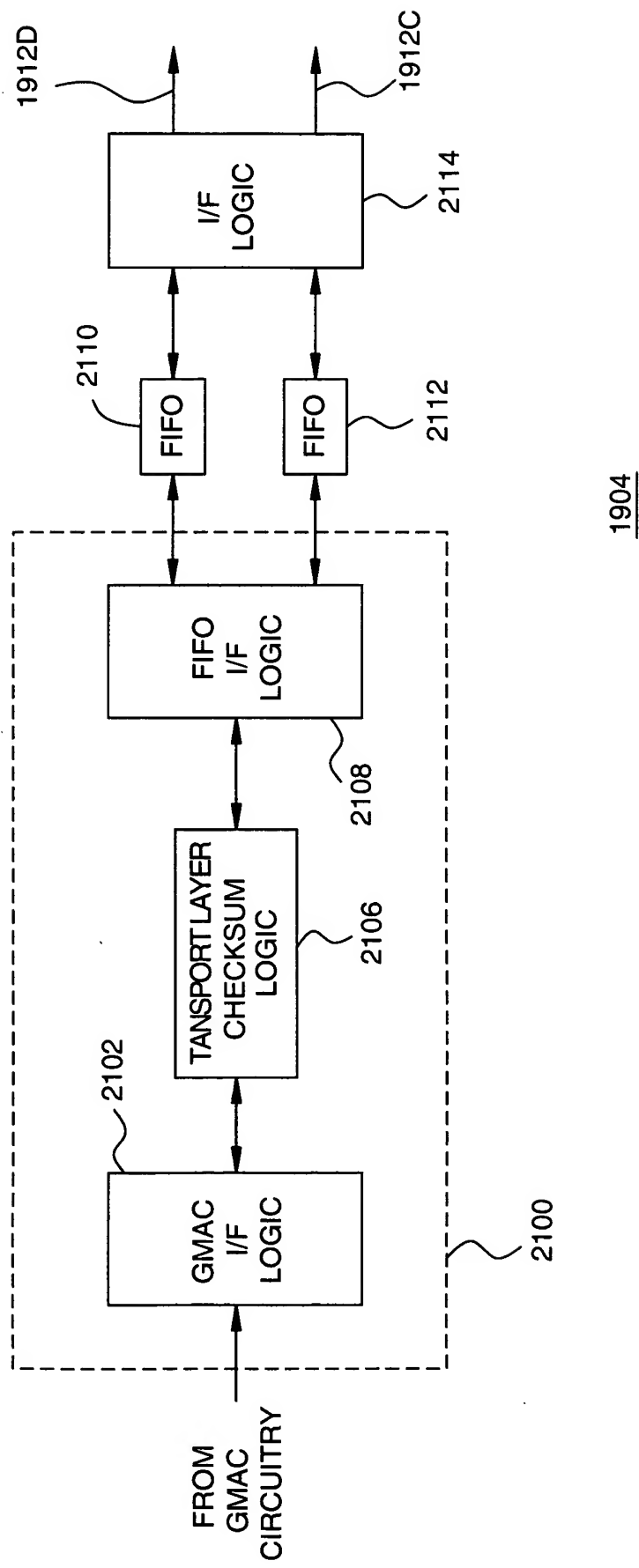


FIG. 21